

УДК 532.613.4, 532.517

## Применение неразрывной модели для силы поверхностного натяжения к задаче неустойчивости Рэлея–Тейлора\*

С.Н. Яковенко<sup>1,2</sup>, К.С. Чан<sup>3</sup>

<sup>1</sup> *Институт теоретической и прикладной механики  
им. С.А. Христиановича СО РАН, Новосибирск*

<sup>2</sup> *Новосибирский государственный университет*

<sup>3</sup> *Национальный Чэн-Гун университет, Тайнань, Тайвань*

E-mail: yakovenk@itam.nsc.ru

Эффект поверхностного натяжения вводится согласно неразрывной модели для силы поверхностного натяжения. Плавное изменение сглаженной функции объемной фракции (функции-колера) поперек поверхности раздела несмешивающихся текучих сред происходит за счет свертки исходной функции-колера со сглаживающей функцией ядра (smooth kernel). Сформулированный для плоских двумерных течений, ограниченных твердыми границами или плоскостями симметрии, полиномиальный ядро восьмого порядка тестируется для задачи неустойчивости Рэлея–Тейлора.

**Ключевые слова:** неустойчивость Рэлея–Тейлора, модель поверхностного натяжения, функция объемной фракции.

### ВВЕДЕНИЕ

В настоящей работе поверхностное натяжение параметризуется объемными силами согласно неразрывной модели силы поверхностного натяжения CSF (continuum surface force) [1], с использованием коэффициента поверхностного натяжения  $\sigma$  и сглаженной функции объемной фракции (функции-колера). Плавное изменение этой функции поперек поверхности раздела несмешивающихся сред достигается путем свертки объемной фракции с интерполяционной функцией  $K$ . Свойства  $K$  (компактность, монотонное уменьшение, симметрия, дифференцируемость, нормальность, ограниченное поведение) и некоторые примеры ее выбора представлены в работе [1].

В частности, в работе [2] новая простая полиномиальная форма восьмого порядка для функции ядра успешно применена к моделированию сферической капли в статическом равновесии и показана работоспособность этой модификации для

---

\* Работа выполнена при финансовой поддержке Национального Научного Совета Тайваня (NSC, R.O.C.) (грант по контракту NSC-92-2212-E006-102), РФФИ (грант 09-05-00004-а) и СО РАН (Междисциплинарный интеграционный проект № 23, 2009).

круговых и сферических поверхностей раздела в бесконечной области. В настоящей работе сформулировано выражение свертки с этой функцией ядра для плоских двумерных течений, ограниченных твердыми границами или плоскостями симметрии. Это выражение тестируется в задаче неустойчивости Рэлея–Тейлора (НРТ). НРТ-течение является классической задачей гидродинамики свободной поверхности, выбранной также и в других теоретических [3], экспериментальных [4] и численных [1, 5–11] исследованиях.

### 1. ОСНОВНЫЕ УРАВНЕНИЯ

Основные уравнения для двумерного ламинарного течения двух текучих несжимаемых сред, учитывающие эффекты поверхностного натяжения, имеют следующий вид:

$$\frac{\partial U}{\partial x} + \frac{\partial V}{\partial y} = 0, \quad (1)$$

$$\frac{\partial U}{\partial t} + \frac{\partial U^2}{\partial x} + \frac{\partial UV}{\partial y} = -\frac{1}{\rho} \frac{\partial p}{\partial x} + \frac{1}{\rho} \frac{\partial}{\partial x} \left[ \eta \left( 2 \frac{\partial U}{\partial x} \right) \right] + \frac{1}{\rho} \frac{\partial}{\partial y} \left[ \eta \left( \frac{\partial U}{\partial y} + \frac{\partial V}{\partial x} \right) \right] + F_U^S, \quad (2)$$

$$\frac{\partial V}{\partial t} + \frac{\partial UV}{\partial x} + \frac{\partial V^2}{\partial y} = -\frac{1}{\rho} \frac{\partial p}{\partial y} + \frac{1}{\rho} \frac{\partial}{\partial x} \left[ \eta \left( \frac{\partial V}{\partial x} + \frac{\partial U}{\partial y} \right) \right] + \frac{1}{\rho} \frac{\partial}{\partial y} \left[ \eta \left( 2 \frac{\partial V}{\partial y} \right) \right] - g + F_V^S, \quad (3)$$

$$\rho = \rho_1 f + \rho_2 (1 - f), \quad \eta = \eta_1 f + \eta_2 (1 - f), \quad (4)$$

$$\frac{\partial f}{\partial t} + \frac{\partial (Uf)}{\partial x} + \frac{\partial (Vf)}{\partial y} = 0, \quad (5)$$

где  $U$  и  $V$  — горизонтальная и вертикальная компоненты вектора скорости соответственно,  $x$  и  $y$  — горизонтальная и вертикальная координаты соответственно,  $g$  — ускорение силы тяжести,  $\eta$  — динамическая вязкость,  $\rho$  — плотность,  $p$  — давление,  $t$  — время. Значения  $\rho_1$  и  $\eta_1$  соответствуют более тяжелой жидкости при  $f = 1$ , тогда как значения  $\rho_2$  и  $\eta_2$  — более легкой жидкости (газу) при  $f = 0$ .

В уравнениях для скорости эффекты поверхностного натяжения вводятся как объемные силы в согласии с CSF-моделью [1], где модифицированное выражение объемной силы (для общего трехмерного случая) формулируется как

$$F_i^S = \frac{\sigma \kappa}{\rho[f]} \frac{\partial \tilde{f}}{\partial x_i}, \quad [f] = f_2 - f_1 = 1. \quad \text{Здесь } \sigma \text{ — коэффициент поверхностного натяжения между жидкостями 1 и 2, } \kappa = -(\partial \hat{n}_i / \partial x_i) \text{ — кривизна поверхности, } \hat{n}_i = \partial \tilde{f} / \partial x_i \text{ — единичный вектор по нормали к поверхности.}$$

Функцию сглаженной объемной фракции (функцию-колера) можно взять в первом приближении равной функции объемной фракции, найденной численно, в связи с возможным размазыванием за счет численных схем. Однако точное представление сглаженной функции-колера предполагает, что она изменяется плавно на толщине  $h$  поперек поверхности раздела посредством оператора свертки характеристической функции  $f$  с интерполяционной функцией (сглаживающего ядра)  $\mathbf{K}$ .

Таким образом, сглаженная функция объемной фракции задается выражением [1, 2]:

$$\tilde{f}(x_i) = \mathbf{K} * f(x_i) = \int_{\Omega_K} f(x'_i) \cdot \mathbf{K}(x_i - x'_i) dx'_1 dx'_2 dx'_3. \quad (6)$$

В работе [2] введена новая формула полинома восьмого порядка для функции ядра, обозначаемого как  $\mathbf{K}_8$ :

$$\mathbf{K}_8(r, \varepsilon) = \begin{cases} C_K [1 - (r/\varepsilon)^2]^4 & \text{при } r < \varepsilon \\ 0 & \text{при } r \geq \varepsilon \end{cases} \quad (7)$$

с условиями нормализации  $\int_{\Omega_K} \mathbf{K}_8(r, \varepsilon) dr = 1$ , определяющими константу  $C_K$ .

Параметр  $\varepsilon$  является радиусом области  $\Omega_K$ , в которой  $\mathbf{K}$  не равно нулю, а  $r = \sqrt{(x'_1 - x_1)^2 + (x'_2 - x_2)^2 + (x'_3 - x_3)^2}$ . Простая форма  $\mathbf{K}_8$  приводит к прозрачному для кодирования и эффективному алгоритму вычислений, что немаловажно, поскольку численная аппроксимация в (6) может требовать многочисленных оценок функции-ядра.

Для плоских двумерных течений свертка (6) может быть записана как

$$\tilde{f}(x, y) = \iint_{\Omega_K} f(x', y') \mathbf{K}(x - x', y - y') dx' dy', \quad (8)$$

где

$$\mathbf{K}(x - x', y - y') = \mathbf{K}_8(r, \varepsilon) = \begin{cases} C_K [1 - (r/\varepsilon)^2]^4 & \text{при } r < \varepsilon \\ 0 & \text{при } r \geq \varepsilon \end{cases} \quad (9)$$

и  $r = \sqrt{(x' - x)^2 + (y' - y)^2}$ . Условие нормализации дает

$$1 = \int_{\Omega_K} \mathbf{K}_8(r, \varepsilon) dx dy = \int_0^\varepsilon C_K [1 - (r/\varepsilon)^2]^4 2\pi r dr = \frac{\pi}{5} C_K \varepsilon^2 \quad \text{и} \quad C_K = \frac{5}{\pi \varepsilon^2}.$$

Для корректного определения сглаженной функции-колера  $\tilde{f}(x, y)$  во всей (прямоугольной) вычислительной области, расположенной при  $x_0 \leq x \leq x_N$  и  $y_0 \leq y \leq y_N$ , необходимо иметь значения  $f(x', y')$  в расширенной области  $x_0 - \varepsilon \leq x' \leq x_N + \varepsilon$  и  $y_0 - \varepsilon \leq y' \leq y_N + \varepsilon$ . Следовательно, должны быть введены виртуальные значения  $f$  при  $x_0 - \varepsilon \leq x' < x_0$ ,  $x_N < x' \leq x_N + \varepsilon$  и  $y_0 - \varepsilon \leq y' < y_0$ ,  $y_N < y' \leq y_N + \varepsilon$ . Это осуществляется путем соответствующего учета граничных условий. Пусть вертикальная плоская граница, расположенная при  $x = x_0$ , является плоскостью симметрии. Тогда вводится  $f(x', y') = f(2x_0 - x', y')$  при  $x_0 - \varepsilon \leq x' < x_0$ . С другой стороны, для границы в виде твердой стенки, расположенной при  $x = x_0$ , имеем  $f(x', y') = f(x_0, y')$  при  $x_0 - \varepsilon \leq x' < x_0$  в предположении нулевой производной  $(\partial f / \partial x)_{x=x_0} = 0$  по нормали к стенке (при отсутствии информации о динамических контактных углах).

## 2. ЧИСЛЕННЫЕ МЕТОДЫ И СХЕМЫ

Алгоритм решения уравнений Навье–Стокса приведен в работе [12], где он применялся к задаче о течении, возникающем при разрушении плотины, и результаты расчетов соответствовали данным лабораторных экспериментов. Шаг по времени может быть выбран достаточно малым, следуя схеме

$$\Delta t = [C_{t0}(1-t/t_0) + t/t_0] \Delta t^*, \quad (C_{t0}, t_0) = (0,1, 0,5) \quad \text{при } t \leq t_0,$$

$$\Delta t = \Delta t^* \quad \text{при } t \geq t_0,$$

$$\Delta t^* = 0,01 \cdot \min \left\{ \frac{\delta}{U_r}, \frac{x_{i+1} - x_i}{U_{i+1/2,j}}, \frac{y_{j+1} - y_j}{V_{i,j+1/2}}, \frac{\rho \Delta x_i^2 \Delta y_j^2}{2\eta (\Delta x_i^2 + \Delta y_j^2)}, \sqrt{\delta^3 \frac{\rho_1 + \rho_2}{4\pi\sigma}} \right\},$$

$$\delta = \min \{x_{i+1} - x_i, y_{j+1} - y_j\}.$$

Отметим, что последний член в выражении для  $\Delta t^*$  появляется согласно условию устойчивости, которое следует из ограничения на шаг по времени, налагаемого явной схемой для поверхностного натяжения.

В работе [12] представлена иерархия пяти численных схем для членов адвекции, применяемых в уравнениях для объемной фракции и скорости. Показано, что противопоточная схема первого порядка и QUICK-схема третьего порядка не подходят для течений со свободной поверхностью, поскольку численная диффузия противопоточной схемы приводит к нереальной толщине поверхности раздела, а QUICK-схема — к существенным искажениям в виде ложных осцилляций. Поэтому в настоящей работе используются три остальные работоспособные схемы, содержащие MUSCL-схему с QUICK-интерполянтами и TVD-ограничителем (compressive minmod) [9] для  $U$ - и  $V$ -уравнений, в сочетании с той же схемой для  $f$  (обозначаемой как  $s4mm$ ), или со схемой модификации наклона для  $f$  (обозначаемой как SMF), или с противопоточно-поточной схемой донор-акцептор (обозначаемой как VOF), а также подходящие аппроксимации [12] для диффузионных слагаемых и CSF-членов.

Для применяемой смещенной сетки последние члены должны быть определены в центрах граней вычислительной ячейки в уравнениях для компонент  $U_{i\pm 1/2,j}$  и  $V_{i,j\pm 1/2}$  вектора средней скорости из значений скаляра  $\tilde{f}_{i,j}$ , определенных в центре ячейки с координатами  $(x_i, y_j)$ :

$$\begin{aligned} (F_x^S)_{i+1/2,j} &= \sigma \frac{(n_x)_{i+1/2,j}}{\rho_{i+1/2,j}} \kappa_{i+1/2,j} = \\ &= \sigma \frac{(n_x)_{i+1/2,j}}{\rho_{i+1/2,j}} \left\{ \frac{(\hat{n}_x)_{i+1,j} - (\hat{n}_x)_{i,j}}{x_{i+1} - x_i} - \frac{(\hat{n}_y)_{i+1/2,j+1/2} - (\hat{n}_y)_{i+1/2,j-1/2}}{y_{j+1/2} - y_{j-1/2}} \right\}, \end{aligned}$$

$$\begin{aligned} (F_y^S)_{i,j+1/2} &= \sigma \frac{(n_y)_{i,j+1/2}}{\rho_{i,j+1/2}} \kappa_{i,j+1/2} = \\ &= \sigma \frac{(n_y)_{i,j+1/2}}{\rho_{i,j+1/2}} \left\{ \frac{(\hat{n}_x)_{i+1/2,j+1/2} - (\hat{n}_x)_{i-1/2,j+1/2}}{x_{i+1/2} - x_{i-1/2}} - \frac{(\hat{n}_y)_{i,j+1} - (\hat{n}_y)_{i,j}}{y_{j+1} - y_j} \right\}, \end{aligned}$$

где

$$\begin{aligned} (\hat{n}_x)_{i,j} &= \frac{(n_x)_{i,j}}{|\vec{n}|_{i,j}}, & (\hat{n}_y)_{i,j} &= \frac{(n_y)_{i,j}}{|\vec{n}|_{i,j}}, \\ (\hat{n}_x)_{i+1/2,j+1/2} &= \frac{(n_x)_{i+1/2,j+1/2}}{|\vec{n}|_{i+1/2,j+1/2}}, & (\hat{n}_y)_{i+1/2,j+1/2} &= \frac{(n_y)_{i+1/2,j+1/2}}{|\vec{n}|_{i+1/2,j+1/2}}, \\ |\vec{n}|_{i,j} &= \sqrt{(n_x)_{i,j}^2 + (n_y)_{i,j}^2}, & |\vec{n}|_{i+1/2,j+1/2} &= \sqrt{(n_x)_{i+1/2,j+1/2}^2 + (n_y)_{i+1/2,j+1/2}^2}, \\ (n_x)_{i,j} &= \frac{1}{2}[(n_x)_{i+1/2,j} + (n_x)_{i-1/2,j}], & (n_y)_{i,j} &= \frac{1}{2}[(n_y)_{i,j+1/2} + (n_y)_{i,j-1/2}], \\ (n_x)_{i+1/2,j+1/2} &= \frac{1}{2}[(n_x)_{i+1/2,j} + (n_x)_{i+1/2,j+1}], \\ (n_y)_{i+1/2,j+1/2} &= \frac{1}{2}[(n_y)_{i,j+1/2} + (n_y)_{i+1,j+1/2}], \\ (n_x)_{i+1/2,j} &= \frac{\tilde{f}_{i+1,j} - \tilde{f}_{i,j}}{x_{i+1} - x_i}, & (n_y)_{i,j+1/2} &= \frac{\tilde{f}_{i,j+1} - \tilde{f}_{i,j}}{y_{j+1} - y_j}. \end{aligned}$$

### 3. ПРИМЕНЕНИЕ К ЗАДАЧЕ НЕУСТОЙЧИВОСТИ РЭЛЕЯ–ТЕЙЛОРА

Сформулированные выше численные методы тестируются при расчетах неустойчивости Рэля–Тейлора. Начальное состояние течения схематично показано на рис. 1. Основные условия вычислений следуют тестовому случаю НРТ-задачи из работы [5]:  $L = 0,02$ ,  $H = 1,5L$ ,  $g = 1$ ,  $\rho_1 = 2$ ,  $\rho_2 = 1$ . Коэффициенты вязкости и поверхностного натяжения варьировались (см. табл.). Все переменные обезразмерены при использовании характерных величин  $\rho_r = \rho_1$ ,  $\eta_r = \eta_1 = \rho_1 \nu$ ,  $L_r = L$ ,  $U_r = \sqrt{gL}$ ,  $t_r = \sqrt{L/g}$ , дающих следующее характерное число Рейнольдса:

$$\text{Re}_r = \frac{\rho_r U_r L_r}{\eta_r} = \frac{\sqrt{gL^3}}{\nu}.$$

Начальные условия выбираются теми же, что и в [5, 6, 9–11]. На поверхности раздела текучих сред вводится возмущение с единственной длиной волны и амплитудой  $A$  при использовании во всей вычислительной области распределения вертикальной скорости вида

$$V(x, y, 0) = \alpha \cdot \cos\left(\pi \frac{x}{L}\right) \exp\left(-\pi \frac{|y|}{L}\right), \quad \alpha = \frac{\pi \delta}{2 L} A$$

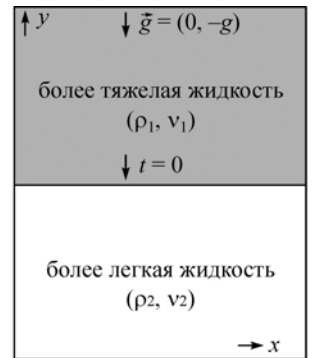


Рис. 1. Схема задачи НРТ (начальное состояние).

Таблица

Этапы численных исследований, перечисленные как варианты

Вариант	$A$	$Re_m$	$\sigma$	Кернель	Схема адвекции
1	1,00	800	0	без <b>K</b>	c4mm
2	0,50	800	0	без <b>K</b>	c4mm
3	0,20	800	0	без <b>K</b>	c4mm
4	0,10	800	0	без <b>K</b>	c4mm
5	<b>0,05</b>	800	0	без <b>K</b>	c4mm
6	0,02	800	0	без <b>K</b>	c4mm
7	0,05	176	0	без <b>K</b>	c4mm
8	0,05	72	0	без <b>K</b>	c4mm
9	0,05	39	0	без <b>K</b>	c4mm
10	0,05	20	0	без <b>K</b>	c4mm
11,12,13	0,05	<b>400</b>	0	без <b>K</b>	c4mm, SMF, VOF
14,15,16	0,05	400	0,000010	без <b>K</b>	c4mm, SMF, VOF
17,18,19	0,05	400	0,000020	без <b>K</b>	c4mm, SMF, VOF
20,21,22	0,05	400	0,000030	без <b>K</b>	c4mm, SMF, VOF
23,24,25	0,05	400	0,000035	без <b>K</b>	c4mm, SMF, VOF
26,27,28, 29,30,31	0,05	400	0,0000330, 360, 370, 0,0000375, 380, 382	без <b>K</b>	c4mm
32,33,34, 35,36	0,05	400	0,0000330, 360, 370, 0,0000375, 377	без <b>K</b>	SMF
37,38,39, 40,41,42	0,05	400	0,0000400, 430, 450, 0,0000470, 475, 482	без <b>K</b>	VOF
43,44,45	0,05	400	0,000010	<b>K</b> <sub>8</sub> , $\varepsilon = 0,1, 0,2, 0,4$	c4mm
46,47,48	0,05	400	0,000020	<b>K</b> <sub>8</sub> , $\varepsilon = 0,1, 0,2, 0,4$	c4mm
49,50,51	0,05	400	0,000030	<b>K</b> <sub>8</sub> , $\varepsilon = 0,1, 0,2, 0,4$	c4mm
52,53,54	0,05	400	0,000035	<b>K</b> <sub>8</sub> , $\varepsilon = 0,1, 0,2, 0,4$	c4mm
55,56,57, 58,59,60,61	0,05	400	0,0000380, 390, 400, 0,0000405, 410, 413, 420	<b>K</b> <sub>8</sub> , $\varepsilon = 0,1$	c4mm
62,63,64, 65,66	0,05	400	0,0000380, 400, 410, 0,0000415, 419	<b>K</b> <sub>8</sub> , $\varepsilon = 0,2$	c4mm
67,68,69 70,71,72	0,05	400	0,0000400, 430, 435, 0,0000440, 443, 444	<b>K</b> <sub>8</sub> , $\varepsilon = 0,4$	c4mm

и следующих распределений для более тяжелой жидкости (при  $y > 0$ ):

$$U(x, y, 0) = \alpha \cdot \sin\left(\pi \frac{x}{L}\right) \exp\left(-\pi \frac{|y|}{L}\right), \quad f(x, y, 0) = 1, \quad p(x, y, 0) = -\rho_1 g y$$

и для более легкой жидкости (при  $y < 0$ ):

$$U(x, y, 0) = -\alpha \cdot \sin\left(\pi \frac{x}{L}\right) \exp\left(-\pi \frac{|y|}{L}\right), \quad f(x, y, 0) = 0,$$

$$p(x, y, 0) = -\rho_2 g y,$$

за исключением узкой переходной области между двумя жидкостями (при  $y = 0$ ), где  $f(x, y, 0) = 0,5$ . Начальное распределение скорости является консервативной формой [5, 6] (неконсервативного) синусоидального возмущения вертикальной скорости амплитуды  $A$  с длиной волны  $\lambda = 2L$ , возникающего на поверхности раздела при задании  $V(x, y, 0) = \alpha \cdot \cos\left(\pi \frac{x}{L}\right)$ . Отметим, что можно сформулиро-

вать модифицированное число Рейнольдса  $Re_m = \frac{\rho_r U_i \lambda}{\eta_r} = \frac{\sqrt{g \lambda^3}}{\nu}$ , используя дли-

ну волны в характерных масштабах скорости и длины. Начальное распределение давления соответствует гидростатическому распределению, а отрицательные значения давления не являются проблемой в расчетах из-за наличия только производных давления в уравнениях для скорости. Кроме того, основной интерес представляет эволюция поверхности раздела, а не величины давления и скорости. Начальное распределение объемной фракции задается таким, чтобы из уравнения (4) получилось показанное на рис. 1 поле плотности.

Левая и правая вертикальные границы выбираются в виде плоскостей симметрии, тогда как верхняя и нижняя горизонтальная границы полагаются твердыми стенками. Граничные условия для давления получаются из уравнений для компоненты скорости, нормальной к границе [9–12], при этом используются виртуальные значения в фиктивных ячейках, окружающих сетку [12]. Объемная фракция на стенках экстраполируется из внутренней части течения [9–12], а нормальная к границе скорость полагается равной нулю.

#### 4. РЕЗУЛЬТАТЫ ЧИСЛЕННЫХ ЭКСПЕРИМЕНТОВ

Следуя предшествующим работам [5, 6, 9–11], область вычислений простирается от  $x = 0$  до  $x = L$  (рис. 1), а верхняя и нижняя границы задаются при  $y = -1,5L$  и  $y = 1,5L$  соответственно. Для базовых вычислений [9–11] используется равномерная сетка  $41 \times 121$  с  $\delta = L/40$ . В исследованиях по получению независимого от сетки решения [12] было показано, что такое разрешение оказывается достаточным. Основные этапы выполненных численных исследований перечислены в таблице как различные варианты и обсуждаются ниже.

Первая серия расчетов (см. варианты 1–6) была проведена с коэффициентом возмущения  $A$ , варьируемым от 1,00 до 0,02. Результаты моделирования показывают (рис. 2), что среднее значение  $y_f$  амплитуд «выброса» и «пузыря» (на правой и левой сторонах расчетной области на рис. 3) имеет отчетливо видимый

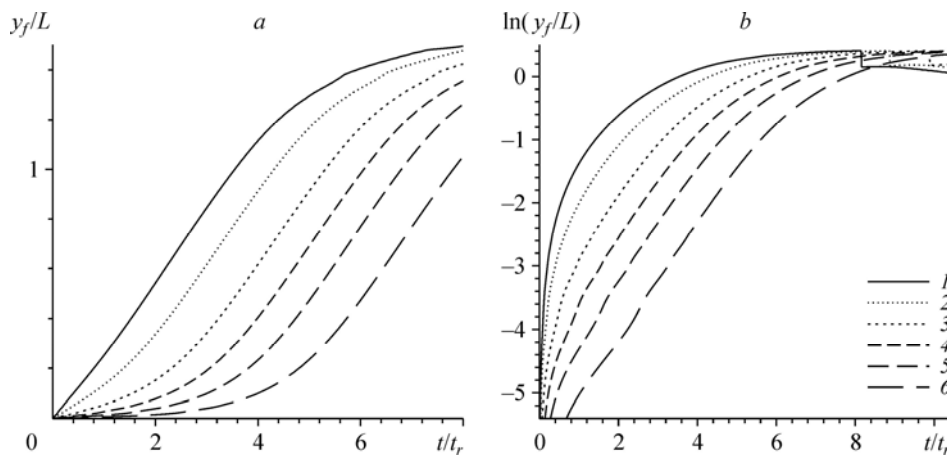


Рис. 2. Эволюция по времени среднего значения амплитуд «клина» и «пузыря» (а) и логарифма этого среднего значения (б) для вариантов 1–6 (с вариацией коэффициента  $A$ , при нулевом поверхностном натяжении).

Для (а, б) в расчетах со схемой c4mm:  $A = 1,00$  (1), 0,50 (2), 0,20 (3), 0,10 (4), 0,05 (5), 0,02 (6).

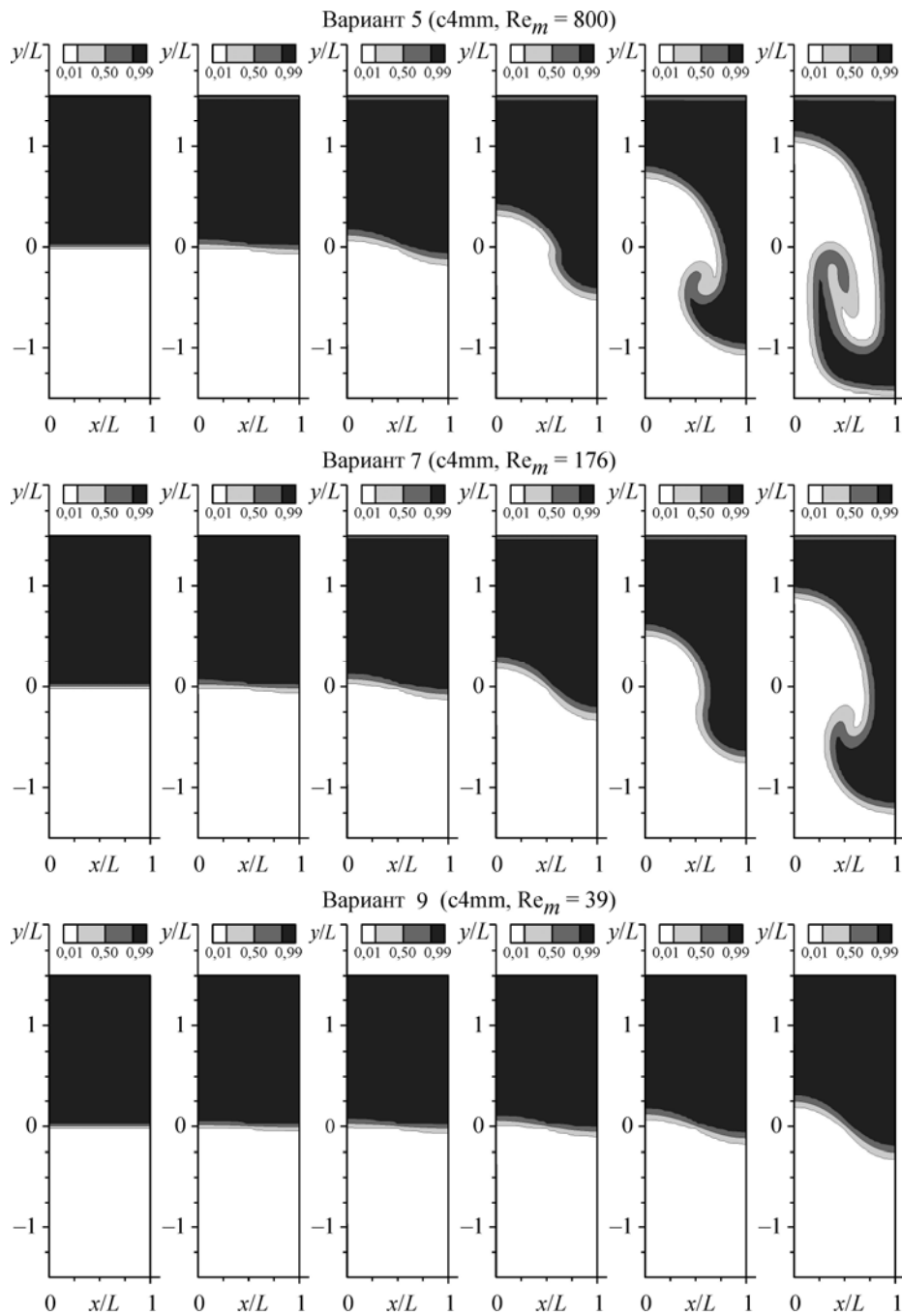


Рис. 3. Изолинии объемной фракции более тяжелой жидкости при  $t/t_r = 0,0; 1,6; 3,2; 4,8; 6,4; 8,0$  для вариантов 5, 7, 9 (расчеты при различных числах Рейнольдса, с нулевым поверхностным натяжением).

экспоненциальный рост только при  $A < 0,1$ , реализуемый, в основном, при  $-3 < \ln(y_f/L) < -2$ . Этот этап соответствует линейной устойчивости [3, 5, 6], которая может быть определена соотношением  $y_f \sim \exp(nt)$  или  $\ln y_f \sim nt$ . Таким

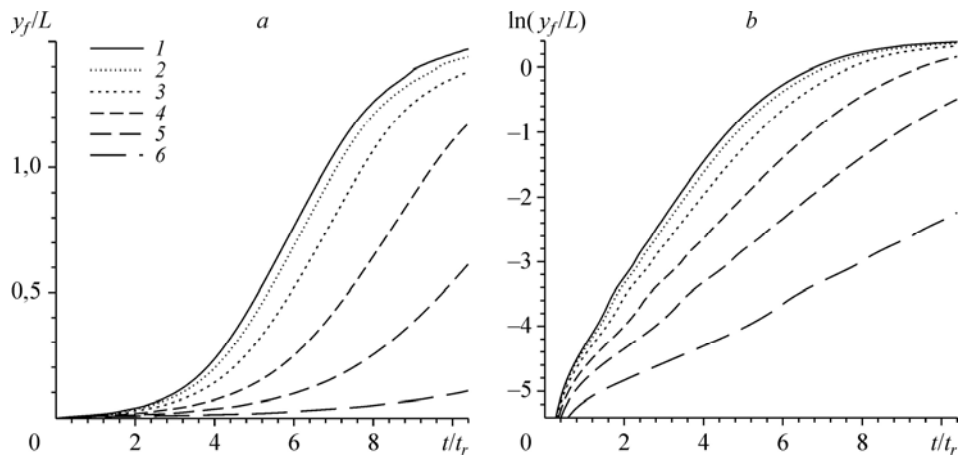


Рис. 4. Эволюция по времени среднего значения амплитуд “клина” и “пузыря” (а) и логарифма этого среднего значения (b) для вариантов 5, 7–11 (с вариацией  $Re$ , при нулевом поверхностном натяжении).

Для (а, b) в расчетах по схеме c4mm:  $Re_m = 800$  (1), 400 (2), 176 (3), 72 (4), 39 (5), 20 (6).

образом, можно определить скорость роста  $n = \frac{d(\ln y_f)}{dt}$  путем расчета приращения  $\ln y_f$  на отрезке  $-3 \leq \ln(y_f/L) \leq -2$ . Эта скорость увеличивается с ростом числа Рейнольдса (рис. 4). Однако безразмерная скорость роста  $n^* = n(v/g^2)^{1/3}$

демонстрирует немонотонное поведение (рис. 5) в полном соответствии с теоретическими оценками работы [3] и расчетами других авторов [5, 10, 11]. Отметим, что согласование результатов настоящей работы с теоретической кривой лучше, чем в вычислениях [9], где использовалась та же схема адвекции (c4mm), описанная в работе [12]. Можно также видеть (рис. 3), что вязкость демпфирует развитие НРТ. Эффекты различных схем адвекции (рис. 6) являются теми же, что и для задачи о разрушении плотины [12].

Эффект поверхностного натяжения заключается в задержке развития неустойчивости Рэлея–Тейлора (рис. 7) и скорости роста (рис. 8, 9). Это также полностью

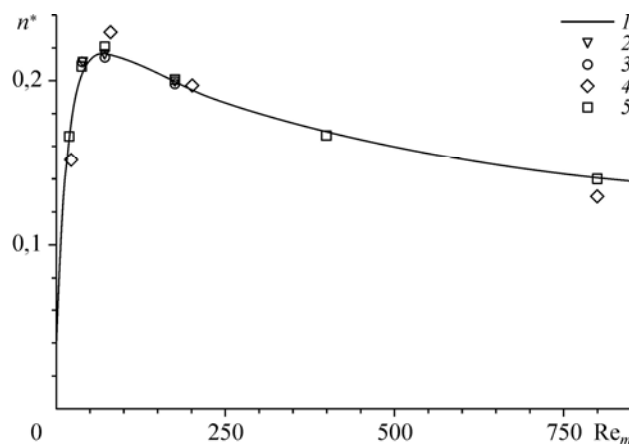


Рис. 5. Скорость роста неустойчивости Рэлея–Тейлора: теоретическая кривая [3] (1), данные вычислений [5] (2), расчетов по схеме SMF [10, 11] (3), c4mm [9] (4) и настоящей работы со схемой c4mm (5), построенные как точки (символы) для различных вариантов в зависимости от числа Рейнольдса.

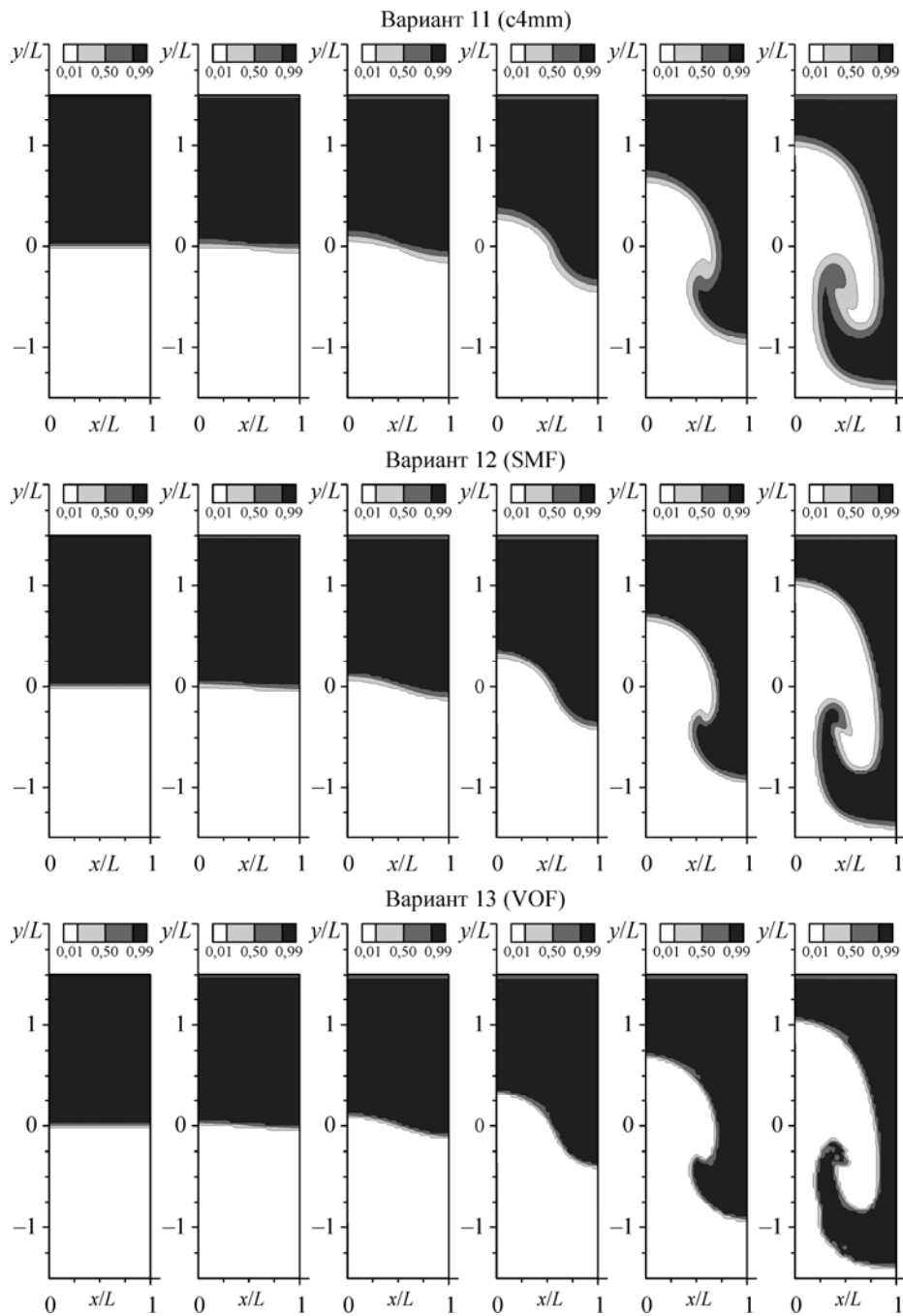


Рис. 6. Изолинии объемной фракции более тяжелой жидкости при  $t/t_r = 0,0; 1,6; 3,2; 4,8; 6,4; 8,0$  для вариантов 11–13 (расчеты с различными схемами адвекции, без поверхностного натяжения).

согласуется с теоретической кривой из работы [3] и имеющимися данными лабораторных экспериментов и вычислений других авторов при  $n/n_0 > 0,4$ . В частности, и теоретические значения, и численные результаты настоящей работы и исследования с оригинальной CSF-моделью [1] расположены в пределах разброса эксперимен-

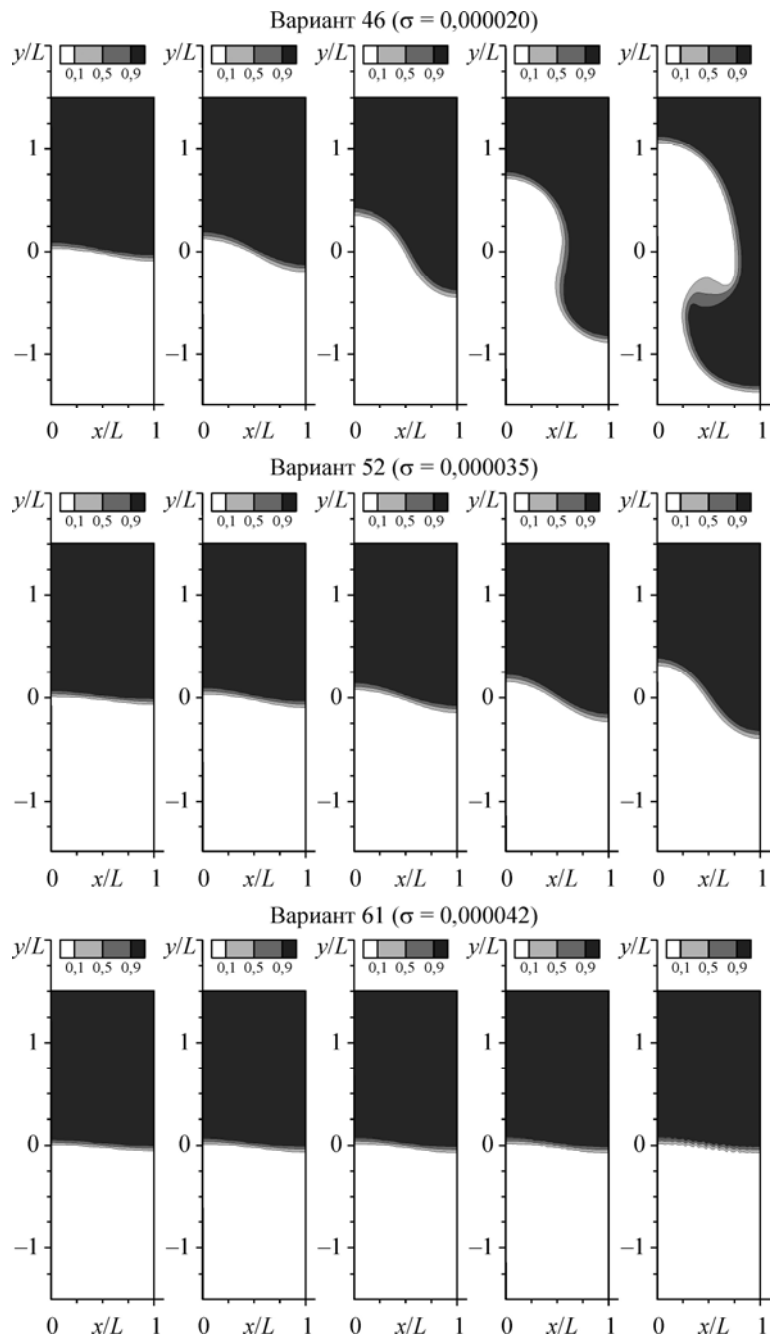


Рис. 7. Объемная фракция при  $t/t_r = 3,2; 4,8; 6,4; 8,0; 9,6$  для вариантов 46, 52, 61 (с поверхностным натяжением).

тальных данных [4], тогда как данные расчетов [6] оказываются немного заниженными. При  $n/n_0 \leq 0,4$  данные измерений отсутствуют, и скорость роста, вычисленная в [1], существенно завышена из-за некоторой численной диффузии поверхности раздела, определенной при помощи ALE-алгоритма. Эта дополнительная диффузия массы будет уменьшать скорость роста при  $\Phi < 1$  и увеличивать ее (т. е.

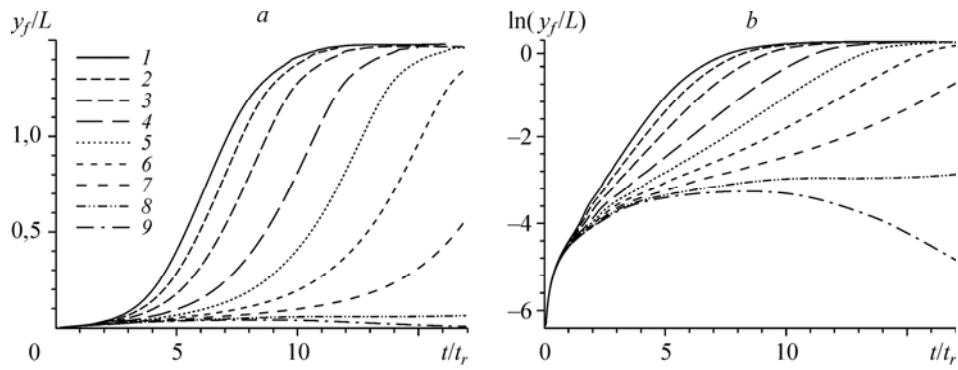


Рис. 8. Эволюция по времени среднего значения амплитуд “клина” и “пузыря” (а) и логарифма этого среднего значения (b) для различных вариантов с вариацией поверхностного натяжения: варианты 11, 43, 46, 49, 52, 55, 57, 60, 61 ( $T \equiv \sigma 10^5 = 0, 1, 0, 2, 0, 3, 0, 3, 5, 3, 8, 4, 0, 4, 13, 4, 20$  (кривые 1–9), соответственно) с  $\mathbf{K}_g$ ,  $\varepsilon = 0, 1$ .

дает дестабилизирующий эффект) при  $\Phi > 1$  [1]. В настоящем исследовании в вычислениях без  $\mathbf{K}$  при помощи VOF-схемы такой ложный эффект дестабилизации также заметен, тогда как другие адвективные схемы (SMF и c4mm) занижают скорость роста (рис. 9). Отметим, что использование ядрель-функции с подходящей толщиной (при достаточно малом параметре  $\varepsilon \sim 0,1$ ) дает существенное улучшение в расчетах.

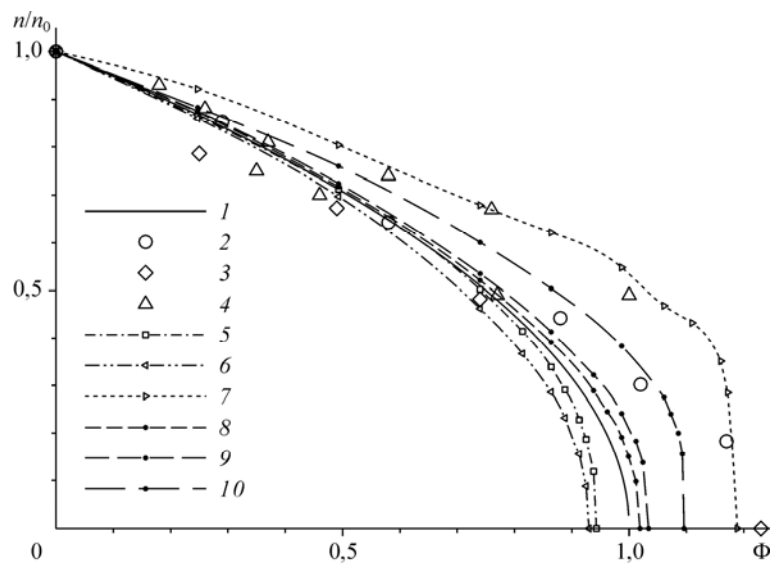


Рис. 9. Скорость роста неустойчивости Рэля–Тейлора: теоретическая кривая [3] (1), данные расчетов [1, 6] (2, 3), измерений [4] (4) и настоящей работы (5–10), построенные как точки (символы) для различных вариантов в зависимости от параметра устойчивости

$\Phi = \frac{\sigma(\pi/L)^2}{(\rho_2 - \rho_1)g}$ , где  $n = \frac{d(\ln y_f)}{dt} = n(\Phi)$  определяется на этапе линейной устойчивости,  $n_0 = n(0)$ . Расчеты без  $\mathbf{K}$ : c4mm (5), SMF (6), VOF (7), по схеме c4mm с  $\mathbf{K}_g$ : при  $\varepsilon = 0,1$  (8), 0,2 (9), 0,4 (10).

## ЗАКЛЮЧЕНИЕ

В настоящей работе CSF-модель с полиномиальным ядром восьмого порядка применяется в задаче неустойчивости Рэлея–Тейлора. Демпфирующие эффекты как вязкости, так и поверхностного натяжения описываются в полном соответствии с теоретическими формулами и данными лабораторных экспериментов. Для выяснения ограничений и возможностей CSF-модели использованный подход необходимо также применить к другим ламинарным и турбулентным течениям с заметными эффектами поверхностного натяжения.

## СПИСОК ЛИТЕРАТУРЫ

1. **Brackbill J.U., Kothe D.B., Zemach C.** A continuum method for modeling surface tension // J. Comp. Phys. 1992. Vol. 100, Iss. 2. P. 335–354.
2. **Williams M.W., Kothe D.B., Puckett E.G.** Accuracy and convergence of continuum surface-tension method // Fluid Dynamics at Interface. Cambridge: Cambridge Univ. Press, 1999. P. 294–305.
3. **Chandrasekar S.** Hydrodynamic and hydromagnetic stability. Oxford: Clarendon Press, 1961. § 94. P. 441–453.
4. **Emmons H.W., Chang C.T., Watson B.C.** Taylor instability of finite surface waves // J. Fluid Mech. 1960. Vol. 7, Iss. 2. P. 177–193.
5. **Daly B.J.** Numerical study of two-fluid Rayleigh-Taylor instability // Phys. Fluids. 1967. Vol. 10, Iss. 2. P. 297–307.
6. **Daly B.J.** Numerical study of the effect of surface tension on interface instability // Phys. Fluids. 1969. Vol. 12, Iss. 7. P. 1340–1354.
7. **Hirt C.W., Nichols B.D.** Volume of fluid (VOF) method for the dynamics of free boundaries // J. Comp. Phys. 1981. Vol. 39, Iss. 1. P. 201–225.
8. **Rudman M.** Volume-tracking method for interfacial flow calculations // Int. J. Numerical Methods in Fluids. 1997. Vol. 24, Iss. 7. P. 671–691.
9. **Kelecy F.J., Pletcher R.H.** The development of a free surface capturing approach for multidimensional free surface flows in closed containers // J. Comp. Phys. 1997. Vol. 138, Iss. 2. P. 939–980.
10. **Chang C.-H.** The development of a multi-fluid surface-capturing method for the computation of incompressible free surface flows. Ph.D. Thesis. Tainan: NCKU, 1998.
11. **Pan D., Chang C.-H.** A free surface capturing method for incompressible multi-fluid flows // Proc. of the 3rd ASME/JSME Joint Fluids Engng Conf. 1999. FEDSM99-7105. P. 1–6.
12. **Яковенко С.Н., Чан К.С.** Аппроксимация потока объемной фракции в течении двух жидкостей // Теплофизика и аэромеханика. 2008. Т. 15, № 2. С. 181–199.

*Статья поступила в редакцию 24 декабря 2007 г.,  
после доработки 30 июня 2010 г.*